

# Costruzione di metodi di minimizzazione convergenti di tipo Broyden con algebre di matrici di bassa complessità

Candidato: **Isabella Iori**

Relatore: **Prof. Carmine Di Fiore**

Correlatore: **Dott. Stefano Cipolla**

Università degli Studi di Roma "Tor Vergata"  
Corso di Laurea Magistrale in Matematica Pura ed Applicata

26 Novembre 2015

# Minimizzazione non vincolata

Problemi di natura teorica e pratica



Formulazione di un modello matematico:

$$\min_{\mathbf{x} \in \mathbb{R}^n} f(\mathbf{x})$$

$$f : \mathbb{R}^n \longrightarrow \mathbb{R}$$

$$\mathbf{x} = (x_1, x_2, \dots, x_n) \text{ per } n \geq 1.$$

Obiettivo: trovare  $\mathbf{x}^*$  tale che  $f(\mathbf{x}^*) = \min_{\mathbf{x} \in \mathbb{R}^n} f(\mathbf{x})$ .



Tecniche di tipo algoritmico

# Algoritmi di minimizzazione non vincolata di tipo line search

$$\mathbf{x}_0 \Rightarrow \{\mathbf{x}_k\}_{k=1}^{\infty}$$

Differenti strategie per passare da  $\mathbf{x}_k$  a  $\mathbf{x}_{k+1}$



LINE SEARCH

## Algoritmo di discesa

```
Scegli  $\mathbf{x}_0 \in \mathbb{R}^n$ ;  $k := 0$ ;  
While  $\nabla f(\mathbf{x}_k) \neq 0$   
{  
  calcola  $\mathbf{d}_k \in \mathbb{R}^n$ ; /* direzione di discesa */  
  calcola  $\alpha_k \in \mathbb{R}$ ; /* lunghezza del passo */  
   $\mathbf{x}_{k+1} = \mathbf{x}_k + \alpha_k \mathbf{d}_k$ ;  
   $k := k + 1$ ;  
}
```



Aspetti critici:

- scelta del passo  $\alpha_k \implies$  STEP LENGTH
- scelta della direzione  $\mathbf{d}_k$  ( $\nabla f(\mathbf{x}_k)^T \mathbf{d}_k < 0$ )

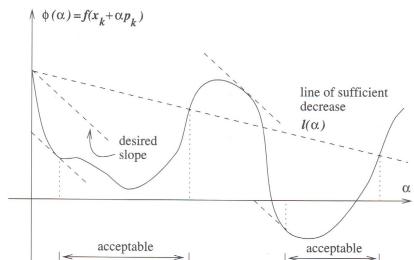
# Step length e direzioni di discesa

## Step length

Condizioni di Wolf:

$$\begin{cases} f(\mathbf{x}_k + \alpha_k \mathbf{d}_k) \leq f(\mathbf{x}_k) + c_1 \alpha_k \nabla f(\mathbf{x}_k)^T \mathbf{d}_k \\ \nabla f(\mathbf{x}_k + \alpha_k \mathbf{d}_k)^T \mathbf{d}_k \geq c_2 \nabla f(\mathbf{x}_k)^T \mathbf{d}_k \end{cases}$$

con  $0 < c_1 < 1/2$  e  $0 < c_1 < c_2 < 1$ .



## Direzione Steepest Descent $\mathbf{d}_k^{SD}$

$$\mathbf{d}_k^{SD} = -\nabla f(\mathbf{x}_k)$$

- calcolo del **gradiente**
- convergenza lineare
- lenta in problemi "difficili"

## Direzione di Newton $\mathbf{d}_k^N$

$$\mathbf{d}_k^N = -\nabla^2 f(\mathbf{x}_k)^{-1} \nabla f(\mathbf{x}_k)$$

- calcolo dell'**Hessiano** e del **gradiente**
- convergenza quadratica, ma....
- complessità  $O(n^3)$  → inadeguata per problemi di grandi dimensioni

# Direzioni quasi-Newton

**Obiettivo:** ridurre il costo computazionale ad ogni iterazione

→

- sostituire l'Hessiano con una sua approssimazione:  
 $\nabla^2 f(\mathbf{x}_k) \approx B_k$
- aggiornare  $B_{k+1}$  usando  $B_k$ 
  - ⇒ mantenere il modello nei pressi della soluzione
  - ⇒ aggiornamento di  $B_{k+1}^{-1}$  a partire da  $B_k^{-1}$
  - ⇒ basso costo computazionale

⇓

## Direzione quasi Newton $\mathbf{d}_k^{QN}$

$$\mathbf{d}_k^{QN} = -B_k^{-1} \nabla f(\mathbf{x}_k)$$

$B_k$  approssimazione **definita positiva** dell'Hessiano,

- $B_{k+1} \mathbf{s}_k = \mathbf{y}_k$ , (equazione secante),  $\mathbf{s}_k = \mathbf{x}_{k+1} - \mathbf{x}_k$  e  
 $\mathbf{y}_k = \nabla f(\mathbf{x}_{k+1}) - \nabla f(\mathbf{x}_k)$
- calcolo del **gradiente**
- il migliore ha convergenza superlineare (es.: classe di Broyden)
- complessità  $O(n^2)$  → valida alternativa per risolvere problemi di grandi dimensioni

# Una classe di metodi quasi-Newton: Broyden ristretta

$$B_{k+1} = B_k - \frac{B_k \mathbf{s}_k \mathbf{s}_k^T B_k}{\mathbf{s}_k^T B_k \mathbf{s}_k} + \frac{\mathbf{y}_k \mathbf{y}_k^T}{\mathbf{y}_k^T \mathbf{s}_k} + \phi (\mathbf{s}_k^T B_k \mathbf{s}_k) \mathbf{v}_k \mathbf{v}_k^T$$

dove

$$\begin{cases} \phi \in [0, 1] \\ \mathbf{y}_k = \mathbf{g}_{k+1} - \mathbf{g}_k, \\ \mathbf{s}_k = \mathbf{x}_{k+1} - \mathbf{x}_k, \\ \mathbf{v}_k = \left[ \frac{\mathbf{y}_k}{\mathbf{y}_k^T \mathbf{s}_k} - \frac{B_k \mathbf{s}_k}{\mathbf{s}_k^T B_k \mathbf{s}_k} \right] \end{cases}$$

## Algoritmo: Broyden Class

Scegli  $\mathbf{x}_0 \in \mathbb{R}^n$ ;  $B_0$  r. s. d.p.,  $k := 0$ ;

While  $\nabla f(\mathbf{x}_k) \neq 0$

{

$\mathbf{d}_k := -B_k^{-1} \nabla f(\mathbf{x}_k)$ ;

Calcola  $\alpha_k \in \mathbb{R}$  che soddisfa le condizioni di Wolf;

$\mathbf{x}_{k+1} = \mathbf{x}_k + \alpha_k \mathbf{d}_k$ ;

$B_{k+1} = \psi_\phi(B_k, \mathbf{s}_k, \mathbf{y}_k)$ ;

$k := k + 1$ ;

}

## Proprietà della classe di Broyden ristretta

- $\nabla f(\mathbf{x}_k + \alpha_k \mathbf{d}_k)^T \mathbf{d}_k \geq c_2 \nabla f(\mathbf{x}_k)^T \mathbf{d}_k \implies \mathbf{y}_k^T \mathbf{s}_k > 0 \implies B_{k+1}$  d.p.
- $B_{k+1} \mathbf{s}_k = \mathbf{y}_k$
- complessità computazionale  $O(n^2)$
- $B_{k+1} = (1 - \phi) B_{k+1}^{BFGS} + \phi B_{k+1}^{DFP}$ .

Sia  $D = \{\mathbf{x} \in \mathbb{R}^n : f(\mathbf{x}) \leq f(\mathbf{x}_0)\}$  insieme di livello.

**Assunzione 1:**  $f$  due volte differenziabile in modo continuo, convessa e limitata inferiormente. Inoltre  $D$  è convesso ed esiste una costante  $M$  per cui

$$\|H(\mathbf{x})\| \leq M$$

per ogni  $\mathbf{x} \in D$ .

- convergenza globale della classe (per problemi convessi) per  $\phi \in [0, 1)$  (Byrd, 1987)
- convergenza superlineare per funzioni uniformemente convesse:  $m\|\mathbf{z}\|^2 \leq \mathbf{z}^T H(\mathbf{x})\mathbf{z} \leq M\|\mathbf{z}\|^2$  per ogni  $\mathbf{x} \in N(\mathbf{x}^*)$ , con  $N(\mathbf{x}^*)$  intorno di  $\mathbf{x}^*$  e  $m, M$  costanti positive.

## Metodi "di tipo" quasi-Newton: la Broyden class type

**Obiettivo:**  $B_k \approx \tilde{B}_k$  per abbassare ulteriormente il costo computazionale e ridurre lo spazio di memoria scegliendo  $\tilde{B}_k$  adeguatamente  $\implies$  **metodi quasi-Newton type**

### Algoritmo: Broyden class type

Scegli  $\mathbf{x}_0 \in \mathbb{R}^n$ ;  $\mathbf{g}_0 = \nabla f(\mathbf{x}_0)$ ;  $B_0, \tilde{B}_0$  d.p.;  $\mathbf{d}_0 = -B_0^{-1}\mathbf{g}_0$ ;  $k := 0$ ;

While  $\nabla f(\mathbf{x}_k) \neq 0$

{

$$\mathbf{x}_{k+1} = \mathbf{x}_k + \alpha_k \mathbf{d}_k;$$

$$\mathbf{s}_k = \mathbf{x}_{k+1} - \mathbf{x}_k;$$

$$\mathbf{g}_{k+1} = \nabla f(\mathbf{x}_{k+1}); \quad \mathbf{y}_k = \mathbf{g}_{k+1} + \mathbf{g}_k;$$

$$B_{k+1} = \psi_\phi(\tilde{B}_k, \mathbf{s}_k, \mathbf{y}_k);$$

- definisci  $\tilde{B}_{k+1} \approx B_{k+1}$  d.p. ,  $\mathbf{d}_{k+1} = -\tilde{B}_{k+1}^{-1}\mathbf{g}_{k+1}$  (NS);

oppure

- $\mathbf{d}_{k+1} = -B_{k+1}^{-1}\mathbf{g}_{k+1}$ , definisci  $\tilde{B}_{k+1} \approx B_{k+1}$  d.p. (S);

$$k := k + 1;$$

}

Sotto quali ipotesi sulla matrice  $\tilde{B}_k$  è garantita la convergenza globale del metodo secante e non secante?



# Convergenza globale della classe di Broyden type secante

## Convergenza globale del metodo secante

Sia  $\mathbf{x}_0$  un punto iniziale per il quale  $f$  soddisfa l'Assunzione 1. Allora per ogni matrice definita positiva  $B_0$ , l'algoritmo generato con il metodo Broyden type ristretto  $\mathcal{S}$  e  $\alpha_k$  che soddisfa le condizioni di Wolf, produce una successione  $\{\mathbf{x}_k\}$  tale che

$$\liminf_{k \rightarrow \infty} \|\mathbf{g}_k\| = 0$$

se per ogni  $k$  vale che

$$\text{tr } \tilde{B}_k \leq \text{tr } B_k$$

$$\det \tilde{B}_k \geq \det B_k$$

$$\frac{\|\tilde{B}_k \mathbf{s}_k\|^2}{(\mathbf{s}_k^T \tilde{B}_k \mathbf{s}_k)^2} \geq \frac{\|B_k \mathbf{s}_k\|^2}{(\mathbf{s}_k^T B_k \mathbf{s}_k)^2}$$

## Convergenza globale del metodo non secante

Stesso enunciato del metodo secante, ma delle tre ipotesi sono necessarie solo quelle su traccia e determinante.

# Convergenza globale dei metodi $\mathcal{L}^{(k)}QN$

Powell  
Convergenza del metodo  
**BFGS**  
(1976)

$\Rightarrow$

C.Di Fiore, S.Fanelli, F.Lepore, P.Zellini  
Convergenza del metodo  
 $\mathcal{L}^{(k)}$ **BFGS NON SECANTE**  
(2003)

$\Downarrow$

$\searrow$

$\swarrow$

S.Cipolla, C.Di Fiore, F.Tudisco, P.Zellini  
Convergenza del metodo  
 $\mathcal{L}^{(k)}$ **BFGS SECANTE**  
(2015)

$\Rightarrow$

convergenza della  
**CLASSE DI  
METODI  
 $\mathcal{L}^{(k)}$ BROYDEN  
SECANTE e  
NON SECANTE**

$\swarrow$

R.H. Byrd, S.J.Nocedal, Y.X.Yuan  
Convergenza della  
**CLASSE DI BROYDEN**  
(1987)

$\tilde{B}_k \in \mathcal{L}^{(k)}$  = algebra di bassa complessità computazionale  $\Rightarrow$  Broyden type:  $O(n)$  = costo per passo

 memoria richiesta

# Algebre di matrici $\mathcal{L}$ e $\mathcal{L}^{(k)}$ di bassa complessità

**Obiettivo:** scegliere  $\tilde{B}_k$  in uno spazio opportuno di bassa complessità

⇒ **Idea:** coinvolgere algebre di matrici di bassa complessità:

- $M_n(\mathbb{C}) =$  spazio delle matrici  $n \times n$  con elementi in  $\mathbb{C}$ ;
- $\|A\|_F^2 = (A, A) = \sum_{i,j=1}^n \bar{a}_{ij} a_{ij} = \sum_{i=1}^n \sum_{j=1}^n |a_{ij}|^2 =$  norma di Frobenius;
- $\mathcal{L} :=$  sd  $U = \{U \text{diag}(\mathbf{z}) U^H : \mathbf{z} \in \mathbb{C}^n\}$ ,  $U =$  trasformata discreta veloce unitaria;
- $\min_{X \in \mathcal{L}} \|A - X\|_F = \|A - \mathcal{L}_A\|_F$ .

- $\mathcal{L}_A = U \text{diag}((U^H A U)_{ii}) U^H$
- $[\mathbf{z}]_i = (U^H A U)_{ii}, i = 1, \dots, n$

- $A$  r. s. d.p.  $\Rightarrow \mathcal{L}_A$  r. s. d.p.
- $\text{tr}(\mathcal{L}_A) = \text{tr}(A)$
- $\det(A) \leq \det(\mathcal{L}_A)$

$$\mathcal{L}^{(k)} := \text{sd } U_k = \{U_k \text{diag}(\mathbf{z}_k) U_k^H : \mathbf{z}_k \in \mathbb{C}^n\}$$

Una possibile scelta è:

$$\tilde{B}_k = \mathcal{L}_{B_k}^{(k)} = U_k \text{diag}(\mathbf{z}_k) U_k^H = U_k \text{diag}((U_k^H B_k U_k)_{ii}) U_k^H$$

⇒

Con questa scelta le ipotesi su traccia e determinante sono immediatamente soddisfatte

⇒

il problema non secante risulta risolto

## Convergenza della classe $\mathcal{L}^{(k)}$ Broyden secante

**Osservazione:**  $B_k \mathbf{s}_k = \sigma \tilde{B}_k \mathbf{s}_k$ , con  $\sigma \in \mathbb{R}^+$   $\implies \frac{(\mathbf{s}_k^T \tilde{B}_k \mathbf{s}_k)^2}{\|\tilde{B}_k \mathbf{s}_k\|^2} \leq \frac{(\mathbf{s}_k^T B_k \mathbf{s}_k)^2}{\|B_k \mathbf{s}_k\|^2}$ .

- è un'ipotesi più restrittiva, ma...
- permette di dimostrare l'esistenza di una  $\tilde{B}_k$  di bassa complessità
- fornisce un modo pratico per costruire  $\tilde{B}_k$
- $B_k \mathbf{s}_k = \sigma \tilde{B}_k \mathbf{s}_k \iff \mathbf{d}_{k+1}^{(NS)} = \sigma \mathbf{d}_{k+1}^{(S)}$

### Problema 1: Total Non-Linear Problem

Dato  $\mathbf{g}_{k+1} \in \mathbb{R}^n$ ,  $B_{k+1} = \psi_\phi(\tilde{B}_k, \mathbf{s}_k, \mathbf{y}_k)$  definita positiva e  $\mathbf{d}_{k+1}^{(S)} = -B_{k+1}^{-1} \mathbf{g}_{k+1}$  trovare una matrice unitaria  $U_{k+1} \in \mathbb{R}^{n \times n}$  di bassa complessità, tale che, se  $\mathcal{L}^{(k+1)} = s d U_{k+1}$ , allora

$$\sigma \mathbf{d}_{k+1}^{(S)} = -(U_{k+1} \text{diag}((U_{k+1}^H B_{k+1} U_{k+1})_{ii}) U_{k+1}^H)^{-1} \mathbf{g}_{k+1} = -\left(\mathcal{L}_{B_{k+1}}^{(k+1)}\right)^{-1} \mathbf{g}_{k+1}.$$



problema con alto grado di non linearità



trovare strategie migliori

# Convergenza degli Algoritmi $\mathcal{L}^{(k)}$ QN Ibridi Secanti

Scegliere:

$$\begin{aligned}\tilde{B}_{k+1} &= U_{k+1} \text{diag}((V^H B_{k+1} V)_{ii}) U_{k+1}^H \\ &= \mathcal{M}_{B_{k+1}}\end{aligned}$$

↓

Metodo  $\mathcal{L}^{(k)}$  QN ibrido

∀  $V$  unitaria:

$\mathcal{M} := \text{sd } V$ ;

$[z_{k+1}]_i = (V^H B_{k+1} V)_{ii} = \lambda_i(\mathcal{M}_{B_{k+1}})$ :

- $\det(B_{k+1}) \leq \det(\mathcal{M}_{B_{k+1}})$
- $\text{tr}(B_{k+1}) \geq \text{tr}(\mathcal{M}_{B_{k+1}})$

## Problema 2: Partial Non-Linear Problem

Dato  $\mathbf{g}_{k+1} \in \mathbb{R}^n$ ,  $B_{k+1} = \psi_\phi(\tilde{B}_k, \mathbf{s}_k, \mathbf{y}_k)$  definita positiva,  $\mathbf{d}_{k+1}^{(S)} = -B_{k+1}^{-1} \mathbf{g}_{k+1}$  e  $\mathbf{z}_{k+1} \in \mathbb{R}^n$ ,  $[z_{k+1}]_i > 0$  per ogni  $i = 1, \dots, n$ , trovare una matrice unitaria  $U_{k+1} \in \mathbb{R}^{n \times n}$ , tale che

$$\sigma \mathbf{d}_{k+1}^{(S)} = -(U_{k+1} (\text{diag}(\mathbf{z}_{k+1})) U_{k+1}^H)^{-1} \mathbf{g}_{k+1}.$$

Ad esempio:  $(z_{k+1})_i = (U_k^H B_{k+1} U_k)_{ii}$

# Convergenza della classe $\mathcal{L}^{(k)}$ Broyden secante

## Teorema di esistenza della soluzione

Dato  $\mathbf{z}_{k+1} > 0$  esistono  $U_{k+1}$  e  $\sigma > 0$  tali che

$$-[U_{k+1} \text{diag}(\mathbf{z}_{k+1}) U_{k+1}^H]^{-1} \mathbf{g}_{k+1} = \sigma \mathbf{d}_{k+1} \iff \frac{4z_m z_M}{(z_m + z_M)^2} \leq \frac{(-\mathbf{d}_{k+1}^T \mathbf{g}_{k+1})^2}{\|\mathbf{d}_{k+1}\|^2 \|\mathbf{g}_{k+1}\|^2} =: \gamma \quad (\text{c1})$$

dove  $z_m := \min_{i=1, \dots, n} [\mathbf{z}_{k+1}]_i$ ;  $z_M := \max_{i=1, \dots, n} [\mathbf{z}_{k+1}]_i$

Cercare  $V$  tale che  $[\mathbf{z}_{k+1}]_i = (V^H B_{k+1} V)_{ii}$  verifichi la condizione (c1) che equivale a

$$\frac{4\mu(\tilde{B}_{k+1})}{(1 + \mu(\tilde{B}_{k+1}))^2} \leq \gamma \quad (\text{c2}) \quad \left( \mu(\tilde{B}_{k+1}) = \frac{z_M}{z_m} \right)$$

$[\mathbf{z}_{k+1}]_i = (U_k^H B_{k+1} U_k)_{ii} = \lambda_i(\mathcal{L}_{B_{k+1}}^{(k)})$ , se (c1) OK  $\Rightarrow V := U_k$ ;

altrimenti  $\dots \Rightarrow$  **CORREZIONE SPETTRALE**

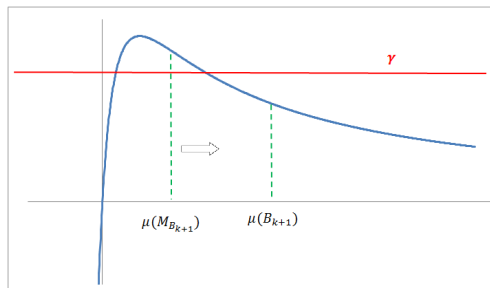
## Correzione spettrale

Riassumendo: condizioni su  $\mathbf{z}_{k+1}$ :

$$\det(B_{k+1}) \leq \prod_{i=1}^n [\mathbf{z}_{k+1}]_i$$

$$\text{tr}(B_{k+1}) \geq \sum_{i=1}^n [\mathbf{z}_{k+1}]_i$$

$$\frac{4z_m z_M}{(z_m + z_M)^2} = \frac{4 \frac{z_M}{z_m}}{\left(1 + \frac{z_M}{z_m}\right)^2} \leq \gamma$$



### Osservazioni

- noti  $\mathbf{x}_m$  = autovettore relativo all'autovalore minimo di  $B_{k+1}$   
 $\mathbf{x}_M$  = autovettore relativo all'autovalore massimo di  $B_{k+1}$   
 $\rightarrow \exists V_{k+1}$  t. c.  $V_{k+1} \mathbf{e}_m = \mathbf{x}_m$  e  $V_{k+1} \mathbf{e}_M = \mathbf{x}_M \rightarrow \mathbf{z}_m = \lambda_m(B_{k+1})$  e  $\mathbf{z}_M = \lambda_M(B_{k+1})$   
ma è troppo costoso calcolare  $\mathbf{x}_m$  e  $\mathbf{x}_M$
- se  $\mathbf{z}_{k+1} = d(V_{k+1}^H B_{k+1} V_{k+1})$  e  $\det B_{k+1} = \prod_{i=1}^n [\mathbf{z}_{k+1}]_i \implies V_{k+1}$  sarebbe la matrice che diagonalizza  $B_{k+1} \rightarrow \det B_{k+1} < \prod_{i=1}^n [\mathbf{z}_{k+1}]_i$

# Correzione spettrale

Sia  $\mathbf{z} = d(V^H B V)$

Strategie per ottenere (c2):

Calolo di  $\rho > 0$  tale che

$$\det(B) = (z_m - \rho) \prod_{i \neq m} [\mathbf{z}]_i$$

↓

$$\det(B) = \prod_{i=1}^n [\mathbf{z}']_i$$

$$\text{tr}(B) > \sum_{i=1}^n [\mathbf{z}']_i$$

$$\text{Se } g\left(\frac{z_M}{z_m - \rho}\right) \leq \gamma$$

↓

Obiettivo raggiunto!!

Altrimenti....

⇒

Calolo di  $\delta > 0$  tale che

$$\det(B) = (z_m - \delta)(z_M + \delta) \prod_{i \neq m} [\mathbf{z}]_i$$

↓

$$\det(B) = \prod_{i=1}^n [\mathbf{z}']_i$$

$$\text{tr}(B) = \sum_{i=1}^n [\mathbf{z}']_i$$

$$\text{Se } g\left(\frac{z_M + \delta}{z_m - \delta}\right) \leq \gamma$$

↓

Obiettivo raggiunto!!

Altrimenti....

## Osservazioni

- $\mathbf{z}'$  ha ancora tutte le componenti positive
- $\rho < \delta$



Obiettivo: modificare  $\mathbf{z}$  ottenendo  $\mathbf{z}'$  tale che

$$\prod_{i \neq m, M} [z]_i < \prod_{i \neq m, M} [z']_i;$$

in modo da ottenere

un  $\rho' > 0$  tale che

$$\det(B) = (z_m - \rho') \prod_{i \neq m} [z']_i$$

e che verifichi

$$\rho < \rho'$$

un  $\delta' > 0$  tale che

$$\det(B) = (z_m - \delta')(z_M + \delta') \prod_{i \neq m, M} [z']_i$$

e che verifichi

$$\delta < \delta'$$

Ma come ottenere questa disuguaglianza?



**Lemma**

Siano  $a$  e  $b$  due quantità positive tali che  $a < b$ . Sia inoltre  $0 < \Delta < (b - a)$ . Allora

$$ab < (a + \Delta)(b - \Delta)$$



**CLUSTERIZZAZIONE**

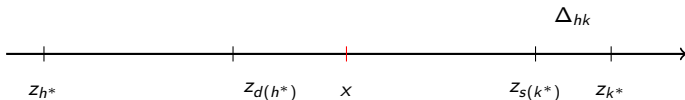
## Cluster "ottimale"

$$\text{Sia } x := \frac{\sum_{i \neq m, M} [z]_i}{n-2}$$

### Cluster "ottimale"

$$\max_{\substack{z_h, z_k \\ z_h < x \\ z_k > x}} \left[ \left( \prod_{i \neq m, M, h, k} [z]_i \right) (z_h + \Delta_{hk})(z_k - \Delta_{hk}) - \prod_{i \neq m, M} [z]_i \right]$$

- tale algoritmo fornisce la coppia di nodi ottimale
- viene mantenuto l'ordine rispetto al vettore originario
- potrebbe essere computazionalmente dispendioso



## Cluster dei nodi adiacenti alla media

Siano  $z_l$  e  $z_v$  i due nodi adiacenti alla media

$$\Delta := |x - z_v| \longrightarrow z_v \pm \Delta = x$$

↓

$$z_v z_l < (z_v \pm \Delta)(z_l \mp \Delta)$$

- all'ultima iterazione si ha  $z_v \pm \Delta' = x = z_l \mp \Delta'$
- viene mantenuto l'ordine rispetto al vettore originario
- potrebbe essere meno efficace rispetto al cluster ottimale, ma meno dispendiosa

## Cluster dei nodi più distanti dalla media

Siano  $z_l$  e  $z_v$  i due nodi più distanti dalla media

$$\Delta' := |x - z_v| \longrightarrow z_v \pm \Delta' = x$$

↓

$$z_v z_l < (z_v \pm \Delta')(z_l \mp \Delta')$$

- $\Delta < \Delta' \Rightarrow$  più veloce
- non viene mantenuto l'ordine rispetto al vettore originario

## Altre strategie di correzione spettrale con cluster

**Obiettivo:** modificare il meno possibile il vettore  $\mathbf{z}$  per discostarci il meno possibile dal modello dell'Hessiano che si sta costruendo.



Oltre a variare il numero indispensabile di elementi di  $\mathbf{z}$ , possiamo mantenere la proprietà sul prodotto degli elementi interni:

$$\prod_{i=1}^n [\mathbf{z}]_i = (z_m - \rho) \prod_{i \neq m} [\mathbf{z}' ]_i$$

oppure

$$\prod_{i=1}^n [\mathbf{z}]_i = (z_m - \delta)(z_M + \delta) \prod_{i \neq m, M} [\mathbf{z}' ]_i$$

Infatti se  $\det(B) \ll \prod_{i=1}^n [\mathbf{z}]_i \rightarrow \begin{cases} z_m - \rho \ll \lambda_m(B) \\ \text{oppure} \\ z_m - \delta \ll \lambda_m(B) \text{ e/o } z_M + \delta \gg \lambda_M(B) \end{cases}$